

## B-3(3) 医学・生物学における核データ.

放医研 喜多憲助

はじめに 医学生物学は、中性子に関する核データと、中性子に直接関係しない核データ (non-neutron nuclear data) の双方を利用する。しかしこの分野での、放射線や RI の利用の歴史から見ると、むしろ、電子や低エネルギーの光子に同心が寄せられ、したがって、まず「nuclear」よりも、「atomic」に眼が向けられて来た。もちろん中性子についても、放射線防護・保健物理の立場から、線量計算上のデータが早くから準備されてしまつたが、原子炉における中性子データのように、必ず compilation と evaluation を受け、精度を上げて来たといふものではない。

本報告は、医学生物学の分野において、現在どのようを検討の、そしてまたどのような精度の核データが使われているのか。また現在利用できる compiled (または evaluated) data にはどんなものがあるのか、を調べ、この分野で必要な基礎データについて、考え方以上とすることである。

医学生物学における核データ 医学生物学における、断面積、放射性核の崩壊のパラメータなど、核データが関係するものは：

(1) 線量評価 (線量推定), (2) 放射化分析 (prompt nuclear analysis と全く), (3) RI の生産。

などの仕事においてである。いわゆる核医学の進歩や原子力発電所など原子力施設の増加により、放射性物質による体内被曝線量の詳しい推定が要請されるようになって來つた。また放射線治療においては、利用する放射線の種類を、中性子、陽子、パイ中性子、あるいは重イオンへと拡げようとする傾向にある。とくに中性子照射は、14 MeV T-d: 中性子源の進歩、サイクロトロンの普及によって、実用化的段階に入つたと見ていい。また加速器利用の普及は、高エネルギー放射線による被曝など保健物理上の問題をもたらす。ここで基礎データは、何よりもまず核データである。

i) 崩壊に関するデータ について云えば、われわれが現在利用できるのは Nuclear Data Sheets<sup>(1)</sup>, Ledener の Table of Isotopes<sup>(2)</sup>であるが、これらは基礎的一般的データとしては十分かも知れないが、線量計算が見たい、十分いけないし、統一性が少ないとほひえないので、たとえば、 $\beta$ 線放出核種についての線量計算では、 $\beta$ 崩壊の各々の  $\beta$ 線の最大エネルギーや  $ft$ 値などより、平均エネルギーの方が、むしろ重要なのである。この点がいえれば、Martin & Blichert-Toft の Table<sup>(3)</sup>の方が、余程利用しやすい。この Table には 69 核種 (一部のものについては、その娘核種もとり上げてある) が記載されている。また内部被曝の推定という立場から、この種の基礎データを集めたのが、Dillman の Table<sup>(4)</sup>である。これは米核医学会の MIRD 委員会を中心とするブルーノの作業の 1 つとして行

なわれたもので五つで、放射性崩壊で放出されるガンマ線、ベータ線、内部転換電子、オーディエ電子、X線などのエネルギーと放出強度を、Table of Isotopes などとともにして作り出したもので、現在54核種について発表されており。うち65核種の分が収集されてことから、(Fig. 1.1, 4) (例を掲げ)。またORNL(米)のInformation Center for Internal Exposure では400種以上の核種について、この種の情報をfileしてある<sup>(5)</sup>。ちなみに、このMIRD委員会の作業の主な目的は、経口または他の方法によって、体内に放射性物質が入った場合、その種類と放射能の強さがわかれば、全身線量、遠隔線量あるいは臓器の吸收線量などに導かれる量——後者はこれを比効率エネルギー(specific effective energy)と呼んである——を作りうることにある。この計算はまた個体をもたらす大がかりなものである。それから見れば、核データは必要をもつてゐるが、全体の、ほんの一割に過ぎない。

保健物理上、よく使われる量として、比η線放射定数とよばれるものがある。これはη線放出核種の臭気源から、空气中で、一定の距離だけ離れた處での照射線量をしくはη線吸收線量をえたものであって、吸收線数(η線の)  $\mu_A$  と ガンマ線のエネルギー  $E_\gamma$ 、崩壊当時の放出率  $I_r$  との積であるとするものである。したがって、ここで必要なのは、 $\mu_A$  と 原子データと  $E_\gamma$ 、 $I_r$  と 核データであり、これら、この兩者は同じ精度が必要とするのである。一般に吸收線量の計算では、(i)より(2)原子データか、核データと同様か、(3)より(4)重写と weight を用いてある。

ii) 放射線エネルギーの吸収による生物学的効果をミクロ的に眺めると、物質と放射線との相互作用と(1)原長に立ち居るまでには至らない。生物学的効果の、放射線の種類や線質に対する依存性は確立されたものではなく、不確定性だらけである。生物学的効率を弄すと自己安として、生存曲線、線エネルギー付与、酸素効果などが知られており<sup>(6)</sup>、それと放射線のタイプとの間に理論的説明はつけていない。Dennisは、この辺の消息について、それが生物学的諸過程の解明の不十分さもあつたが、適切な物理的データの不足と、物質と放射線との相互作用を完全に記述する理論がないことに障害があるものであると述べ<sup>(6)</sup>、核データを含む物理的データの充実を望んでいる。中性子の生体組織中のエネルギー付与は、中性子と水素、炭素、窒素、酸素、カルシウムとの相互作用につれて詳しく述べられており<sup>(7)</sup>。現在われわれが使用するデータは、Bachらのものである<sup>[7]</sup>。このTable 18 18 MeV キル中性子につれて、カルシウムを除く、上記4核種の各断面積をまとめて示すのが、効率と線量との関係をもつて詳細に検討するためには、(1) 中性子エネルギー  $E_n = 10 \text{ keV} \sim 40 \text{ MeV}$ 、(2)  $1 \text{ MeV} \sim 20 \text{ MeV}$  の範囲につれて、上にあげた各元素と中性子との反応 kinetics と断面積につれて、(3)  $0.1 \text{ keV} \sim 40 \text{ MeV}$  の範囲につれて、質量数16と20のイオンに対する比エネルギー損失  $R_{n, \text{H}} = R_{n, \text{O}} / R_{n, \text{H}}$ 、(4) 密イオンと工作物とのη線エネルギー損失スペクトルにつれて、( $=$ )  $100 \text{ eV}$  までの質量数16以上のエネルギー損失過程を詳細に<sup>(8)</sup>、その結果が明確になるとすれば、それらが得られる。

iii) 放射化分析や prompt nuclear analysis は、医学生物学の分野で最も多く用いられた手法である。これは断面積が半減期、放出された放射線の被数とその工事

ルギーふとが強度をどのデータか知る度であり、また二つめのデータの充実が、これら分析方法の利用を促進させることはだ。中性子放射化分析に関する核データ Survey は、そのとくに、Csikai からの記事があり<sup>(8)</sup>、また Bodý & Csikai は、実験値と N-Z Systematics による  $n + n$  2, 14.7 MeV 中性子に対する  $(n, 2n)$  反応の断面積を Survey し<sup>(9)</sup>いる。それによると、実験的断面積は 1.2 と 1.0% の誤差で 2.2~3.2%、 $E = 3.2\text{ eV}$ 、 $\gamma$  線スペクトルと半導体検出器を併用する放射化分析では、一般的に手始めに多段数の  $\gamma$  線  $\beta^- + \gamma$  を扱わなければならず、 $\beta^- + \gamma$  assignment はわりと困難である。このよき場合、

放射性核種が放出するガンマ線をエネルギー順に並べて Bowman & MacMurdo a Table<sup>(10)</sup> が、放射性核種の示す  $\gamma$  線スペクトルを集めたもの<sup>(11)</sup> は、分析容易にするため、手始めに便利である。

精度の高い  $\beta^- + \gamma$  医学や生物学の分野では、例え前項の  $\beta^- + \gamma$  は  $1 \sim 2\%$  の精度（不確かな）でよいが、大さな役立つが、ある場合は  $0.1 \sim 0.2\%$  のものが要される。放射化分析の場合は、断面積の決定の傾向として準的核種の前項の  $\beta^- + \gamma$  の精度のものが必ずある。これは  $\gamma$  パラメータと  $0.1\%$  の精度で測定すれば、簡単である。多くの報告で  $\beta^- + \gamma$  を整理し、矛盾する値を認めることは、大層手間がかかることが多い事である。最近、このよき高精度の  $\beta^- + \gamma$  の値を要する答えて、Grinberg は S.F. Z.  $\beta^- + \gamma$   $^{51}\text{Cr}$ ,  $^{58}\text{Co}$ ,  $^{60}\text{Co}$  の詳細な  $\beta^- + \gamma$  の範囲を <sup>(12)</sup> 計算した。 $\beta^- + \gamma$  の値を  $1\%$  未満とする。

#### References

- (1) D.J.Horen et al., Nuclear Data Sheets, Academic Press, New York, continuing.
- (2) C.M.Lederer, J.M.Hollander and I.Perlmutter, Table of Isotopes, Wiley, New York (1967)
- (3) M.J.Martin and P.H.Blichert, Radioactive Atoms. Auger-Electron,  $\alpha$ -,  $\beta$ -,  $\gamma$ -, and X-ray Data, Nuclear Data (Table) 8, 1 (1970).
- (4) L.T.Dillman, Radionuclide Decay Schemes and Nuclear Parameters for Use in Radiation-Dose Estimation, J. Nucl. Med., 10, Suppl.2(1969); 11, Suppl.4(1970).
- (5) L.T.Dillman, W.S.Snyder and M.R.Ford, Nuclear Data Compilation of Utility in Medical and Biological Application, Proc. Symposium on Nuclear Data in Science and Technology, Paris, 12-16 Mar. 1973, IAEA, Vienna, p. 529 (1973).
- (6) J.A.Dennis, ibid, p. 313.
- (7) R.L.Bach and R.S.Caswell, Energy Transfer to Matter by Neutrons, Radiat. Res., 35, 1 (1968); Neutron Fluence, Neutron Spectra and Kerma, ICRU report No.13 (1968).
- (8) J.Csikai, M.Buczkó, Z.Body and A.Demeny, Nuclear Data for Neutron Activation Analysis, Atomic Energy Review, 7, 93 (1969).
- (9) Z.T.Body and J.Csikai, Recommended Values of  $(n, 2n)$  Cross-section at 14.7 MeV, Atomic Energy Review, 11, 153 (1973).
- (10) W.W.Bowman and K.W.MacMurdo, Radioactive Decay Gammas Ordered by Energy and Nucleide, Atomic Data and Nuclear Data Tables, 13, 90 (1974).
- (11) F.Adams and R.Dans, Applied Gamma Ray Spectrometry, Pergamon Press, New York (1970); G.Zaddach, Katalog von Ge(Li)- $\gamma$ -Spectren, KFA-Bericht JUL-914-DE (1973).

- (12) B.Grinberg, J.P.Berthon, F.Langoutine, Y.Le Gallic, J.Legrand, A.H.Wapstra, H.M.Weiss, W.Bamynek, E.de Roost, H.H.Hansen and A.Spernol, Critical Evaluations of Decay Properties and Compilations of Other Useful Data of Frequently Used Radionucleides, Atomic Energy Review, 11,515 (1973).

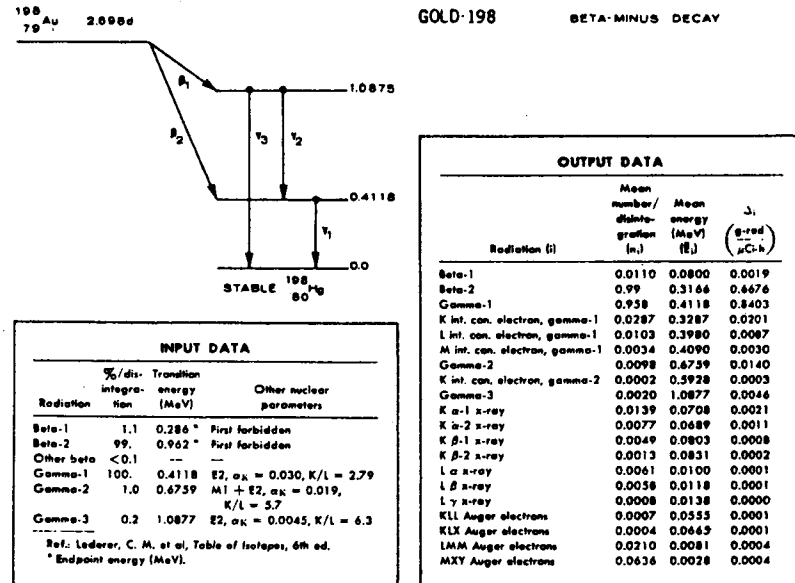


Fig. 1. Dillman or Table or [f31]

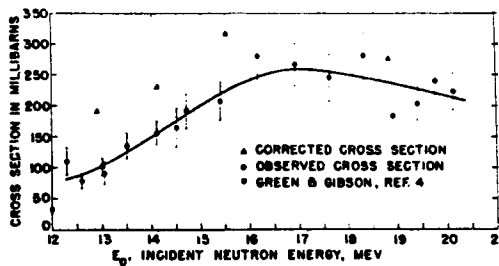


Fig. 2  $^{12}\text{C}(\text{n}, \text{n}' 3\alpha)$  or Cross-section.